

衝撃弾性波によるRC中空床版橋の現況評価

(株)フジエンジニアリング 正会員 ○元井邦彦
 (株)フジエンジニアリング 村山康雄
 株式会社 富士技建 フェロー 石崎 茂
 金沢工業大学環境・建築学部 正会員 宮里心一
 西日本高速道路㈱ 正会員 松田哲夫

1. はじめに

本対象橋梁は4径間連続のRC中空床版橋であり、現在供用後約32年が経過している。供用開始15年以降、コンクリート構造物の代表的な劣化現象である白華現象、中性化、塩害ならびにアルカリ骨材反応等に着目した継続的な詳細調査を実施するとともに、ポットホールや陥没などの舗装劣化が頻繁に発生したため、スチールファイバー混入の上面増厚対策工を実施した経緯がある。その後の舗装劣化の再発に対しても詳細調査を継続し、その結果マクロセル腐食が主要因と判定された。そこで、この劣化に対して、劣化コンクリートをウォータージェット（以下WJと略す）により全て撤去し、新規コンクリートに打ち替える補修工事を実施するに至った。本補修工事に際しては、現状構造物のコンクリートの劣化程度や範囲を評価する事前調査と補修工事前の静的載荷試験、さらに補修効果確認を目的とした補修後の静的載荷試験を実施している。事前調査工は、コンクリートの物性値をコア採取、鉄筋状況を部分ハツリによる目視観察により行なった。しかし、コンクリートの浮き、剥れ、ボイド深さ測定は、既設増厚コンクリートにスチールファイバーが混入されおり、電磁波による調査が不可能なため、衝撃弾性波を適用して行ない、劣化部を評価することとした。本報告は、この事前調査工の内、特に、衝撃弾性波法による劣化部の範囲特定結果について述べたものである。

2. 衝撃弾性波を用いた内部診断結果

衝撃弾性波測定(Concrete Thickness)

Measurement : CTMは、舗装表面に加速度計を設置し、その近傍にハンマー打撃により衝撃波を入力し、コンクリート内部の水平クラックやボイド境界面での反射波を検出することによりコンクリート内部の診断を行なうものである。図-1に測定位置図と図-2に示す舗装上面からの反射波は最も浅い箇所で178mmに出現し、設計ボイド深さ225mmに比べて全体的にCTM測定結果が20~50mm深い結果となった。一方、劣化程度の把握を目的とした鉄筋状況観察、コンクリート物性確認用のコア採取、既設舗装切削深さ確認用のコア採取結果を総合的に判断すると、ボイド深さよりも主版コンクリート内部に水平クラックや剥れが全体的に発生していることを確認した。この水平

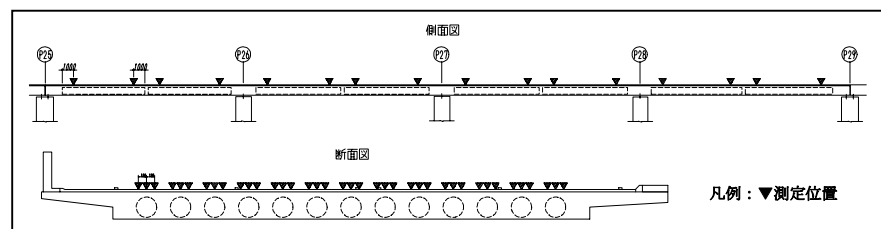


図-1 CTM測定位置図

		P25	P26	P27	P28	P29
本線	追越車線	S13 183 195 187 189	194 186 187 189	186 187 187 193	191 186 183 185	193 183 182 182
	走行車線	S12 185 187 192 191	187 189 187 193	198 182 185 188	188 182 196 192	
ONランプ	走行車線	S11 197 192 200 187	188 190 184 190	184 190 187 193	200 202 178 178	190 186 196 188
	走行車線	S10 194 189 185 185	194 188 183 185	183 185 181 190	184 195 183 191	195 190 195 190
	走行車線	S9 193 193 189 181	200 195 184 189	184 189 187 200	195 195 189 188	186 191 186 191
	走行車線	S8 195 189 189 183	194 192 188 189	188 189 195 203	185 183 188 188	186 185 186 185
		S7 188 194 192 194	184 183 203 204	203 204 202 200	187 200 201 194	183 182 183 182
		S6 194 186 195 185	188 189 196 204	196 204 195 189	187 196 187 196	188 196 182 183
		S5 187 184 192 187	182 188 186 189	186 189 185 184	197 197 197 197	198 183 200 186
		S4 195 187 187 200	196 192 193 190	193 190 189 181	188 200 182 186	187 187 187 187
		S3 181 185 188 190	189 188 192 190	192 190 189 192	185 202 189 185	204 200 204 190
		S2 188 190 193 200	190 198 183 182	183 182 186 182	198 202 187 200	204 190 204 190
		S1 185 189 195 200	188 183 187 183	187 183 186 185	202 201 187 181	201 190 201 190

単位:mm

■:200~210mm
■:190~200mm
■:180~190mm
■:170~180mm

図-2 CTM測定結果

クラックの深度とCTM結果がほぼ一致しており、測定した反射波はこれら水平クラック部で反射であると推定できる。キーワード：衝撃弾性波、ウォータージェット、非破壊検査手法、断面修復、RC中空床版橋
 連絡先：〒532-0002 大阪市淀川区東三国5-5-28, Tel 06-6350-6130, Fax 06-6350-6140

きる。さらに、これらの結果に対して、橋梁全体から3箇所を選定し、部分的なハツリ調査によるボイド深さ確認を行った結果、主鉄筋位置ならびに中空床版内ボイドはほぼ設計とおりであることを確認した。このCTM測定結果とボイド深さ確認結果から、水平クラックと剥れ発生位置がボイドと接近していると想定できることから、劣化部分のコンクリートを全て撤去するとの基本方針であったボイド形状を残すことは困難となり、新たな補修施工ならびに全体工程管理への検討を提案することにした。

3. WJハツリ後の測量結果との比較

補修工事のWJハツリ時に主版上面コンクリートの状況確認と、品質確認の一環としてWJハツリ完了後に主鉄筋位置やハツリ深さ、ボイド天端の測量を実施し、CTM測定結果との比較検証を行った。WJハツリ完了後の測量結果においても全ボイドに異常な浮き上がりや鉄筋かぶりの異常は確認されなかつたが、コンクリート断面内に写真-1に示す水平クラックを確認した。

WJはつり完了後の測量結果とCTM

測定結果の比較評価を表-1に示す。

表中の○印はボイド天端測量結果とCTMによる反射波が10mm未満とほぼ等しい値となった個所を示し、所定の高さとかぶりを有し、健全であると判断した。一方、△印は既設主版上面の主鉄筋位置とCTMによる反射波が10mm未満とほぼ等しい個所を示し、写真-1に代表される水平クラック発生箇所と評価して劣化部と判断した。また、▲印はその中間を示すものと判断した。

したがって、表-1より、本対象径間は、CTMによる非破壊検査結果との比較において全体の28%（○印）は水平クラックや剥離が認められない健全な断面であり、全体の27%（△印）では鉄筋位置にCTMによる反射波が確認できることから、劣化部と評価した。また、残りの45%（▲印）は、剥離発生位置が鉄筋よりさらに深い位置に発生している劣化部と評価した。

4. まとめ

現状コンクリート構造物の評価を目的として実施したCTM結果から、しゅん工図に比べてボイドが若干浅い傾向を示したが、写真-1に示す補修WJ施工中の観察結果ならびに鉄筋状況確認等の事前調査工と一致していた。したがって、CTMによる反射波は、主版コンクリート全体の72%に水平クラックや剥れの発生を検出したものといえる。この水平クラックや剥れ要因の一つは、車輪走行位置等の影響により劣化厚さが異なり、既設床版増厚コンクリートの不均一となり、主鉄筋以深にまで達している部位を多く確認した点が挙げられる。設計断面では主鉄筋上面から20mmで新旧コンクリートを打継ぐよう計画されているが、平成5年当時の上面増厚補修工事においてはコンクリートの劣化部位をブレーカーにより撤去しているものと想定すると新旧打継目以深の旧コンクリート内部にマイクロクラックを多く発生させた可能性も窺われる。さらに、主版コンクリートは内在塩分量の多い海砂や反応性骨材の使用も確認されていることから、部分的なマクロセル腐食が進行し、内部に水平クラックや剥れ現象が多く発生している要因が付加されているものと考える。

5. おわりに

本補修工事の当初設計では、ボイド深さまで劣化が進展していないものと予測していたが、今回のCTM測定からボイド深さ近傍まで水平クラックや剥れが発生していることが判明した。この結果に基づき施工方法の見直しを行ない、ロス無く合理的に補修工事が完了したものと考える。今後、補修工事計画時においては劣化範囲と程度の評価を本手法により行なうことにより、合理的かつ経済的な施工への活用が可能となると考える。

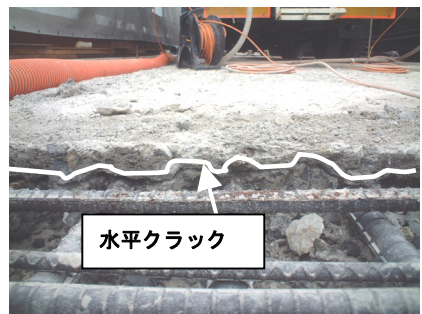


写真-1 WJハツリ止端部状況

表-1 測量結果とCTM測定結果の比較

ボイド番号	S25			S26			S27			S28			
	P25	和歌山側	大阪側	P26	和歌山側	大阪側	P27	和歌山側	大阪側	P28	和歌山側	大阪側	P29
1		△	○		▲	▲		△	○		▲	▲	
2	▲	○		▲	○		▲	○		▲	○		
3	▲	○		▲	○		▲	○		○	○		
4	▲	○		▲	○		▲	○		○	▲		
5	▲	△		△	▲		△	△		○	▲		
6	▲	△		△	▲		△	▲		▲	△		
7	▲	▲		△	○		△	○		▲	△		
8	▲	△		△	▲		▲	▲		▲	△		
9	△	△		○	▲		△	○		▲	△		
10	△	△		○	▲		○	○		▲	▲		
11		△		▲	○		○	○		○	△		
12		△		▲	○		▲	▲		▲	▲		
13		△		▲	▲		▲	▲		▲	▲		

全体判定結果)
 ▲: 47/104ボイド 45%
 △: 28/104ボイド 27%
 ○: 29/104ボイド 28%